

С целью дальнейшего повышения качества распознавания введено понятие о классе, предложенное в [4] как совокупность признаков для каждого класса, имеющих наибольшие значения весов. В данном случае для каждого класса выбирались признаки с наибольшим абсолютным значением информативных весов. Введение понятия о классе позволило достичь качества распознавания 94,1 %. Понятие о классе включало: для 1-го и 3-го классов — ОВ<sub>100</sub> и Р, для 2-го класса — ОВ<sub>100</sub> и К. (Заметим, что информативные веса признаков для 10 эталонных объектов существенно отличаются от таковых, полученных при использовании в качестве эталонных всех 44 нитраминов. Следовательно, понятие о классе в данном случае отличается от следующего из результатов, приведенных в таблице.) Для С-нитросоединений выбраны следующие эталонные объекты: 2, 2, 2-тринитроэтилкарбонат (1-й класс); метил-2, 2, 2-тринитроэтилкарбонат (1-й класс); N-(2, 2, 2-тринитроэтил)-3, 3, 5, 5-тетранитропиридин (1-й класс); бис(2, 2, 2-тринитроэтил)сукцинат (2-й класс); 1, 1, 1, 3-тетранитробутан (2-й класс); 2, 2-динитропропан-1, 3-диол-бис(4, 4, 4-тринитробутират) (2-й класс); нитроизобутил-4, 4, 4-тринитробутират (3-й класс); метилен-бис(4, 4, 4-тринитробутирамид) (3-й класс); 2, 2-динитробутил-4, 4, 4-тринитробутират (3-й класс). Качество распознавания составило 76 %. Введение понятия о классе повысило качество распознавания объектов до 84 %. Понятие о классе включало: для 1-го и 3-го классов — ОВ<sub>100</sub> и К, для 2-го класса — ОВ<sub>100</sub> и Р.

Исходя из гипотезы компактности классов, можно провести статистический анализ информативных весов признаков по критерию Стьюдента для уровня значимости 0,95. В результате, из рассмотренной последовательности соединений выброшены N-метилэтilenдинитрамин, 1, 1, 1, 3, 5, 5, 5-гентанитропентан, N,N'-бис(2, 2, 2-тринитроэтил)мочевина, 2, 2, 2-тринитроэтил-4, 4, 4-тринитробутират, 3, 3, 4, 4-тетранитрогексан, 2, 2, 4, 4, 6, 6-гексанитропентан. В «химических» причинах «нестандартного» поведения чувствительности этих соединений предстоит еще разобратьсяся, однако без учета таких молекул можно для нитраминов получить качество распознавания 97 % (не распознан 2, 2, 5, 7, 7, 9, 12, 12-октанитро-5, 9-диазатридекан), а для С-нитросоединений — 90 % (не распознаны этилен-бис(4, 4, 4-тринитробутират) и 2, 2-динитропропил-4, 4, 4-тринитробутирамид). Отметим, что в настоящем подходе группа гемдинитросоединений распознана полностью, в то время как подход [3] не давал надежного прогноза.

#### ЛИТЕРАТУРА

1. Васильев В. И. Распознающие системы. Справочник.— Киев: Наук. думка, 1983.
2. Белик А. В., Потемкин В. А. Тез. VIII итоговой научной конф.— Челябинск, 1984.
3. Камлет М. Детонация и взрывчатые вещества.— М.: Мир, 1981.
4. Зенкин А. А., Зенкин А. И. Сборник работ по математической кибернетике.— М.: ВЦ АН СССР, 1981.

Поступила в редакцию 13/XI 1986

#### ЧУВСТВИТЕЛЬНОСТЬ К УДАРУ СМЕСЕЙ МЕТАЛЛ — ОКИСЛИТЕЛЬ

С. П. Бажанов, Е. Х. Гидаспова, С. М. Муратов,  
В. Г. Капцлович, В. И. Иванов, Л. Я. Каширин,  
С. И. Воронков

(Куйбышев)

Существующий стандарт [1] на методы определения чувствительности ВВ к удару предусматривает испытания ВВ при постоянных на-весках 50—100 мг. Однако, как показывают исследования [2, 3], энергия инициирования смесей металл — окислитель в значительной степени за-

висит от геометрических размеров образца и воздействующего бойка, определяющих характер деформационного процесса, формирующего взрыв.

В данной работе продолжены исследования по изучению деформации и инициирования систем металл — окислитель. Испытания проводились на малом копре К-44-1 с массами грузов 0,2; 0,4 и 1 кг в приборах, позволяющих изменять диаметры бойков и толщину слоя образца, одновременно фиксировать процесс распространения горения из зоны воздействия. В качестве бойков использовались жала со следующими характеристиками: угол заточки 23°, длина 35 и диаметр 3 мм, материал — сталь У10А. Острие жала стачивалось до диаметров ударной площадки 0,5 и 1 мм. Диаметр ударной площадки исходного жала составлял 0,02 мм. Испытания проводились при различных толщинах слоя.

Исследовались смеси на основе металлов, резко отличающихся по физико-механическим, физико-химическим и теплофизическими свойствам, которые в значительной степени определяют характер деформации и условия локального разогрева и воспламенения ВВ, а следовательно, и чувствительность к механическим воздействиям. Для опытов брались цирконий, титан и магний. У циркония и титана  $T_{воспл} = 450$  и 523 К,  $T_{пл} = 2133$  и 1933 К, коэффициент температуропроводности  $a = 96$  и  $78 \text{ м}^2/\text{с}$ . Прочность образцов размером  $d \times h = 10 \times 5 \text{ мм}$ , сформированных при давлениях  $p = 1 \text{ ГПа}$ , составляла 360 и 580 МПа. У магния  $T_{пл} = 923 \text{ К}$ , прочность 190 МПа,  $T_{воспл} = 823$  и коэффициент температуропроводности  $839 \text{ м}^2/\text{с}$ .

Готовились стехиометрические смеси с различными окислителями (нитрат и пероксид бария, хлорат и перхлорат калия), которые перед испытанием подпрессовывались до давления 300 МПа. О чувствительности смесей судили по нижнему пределу частоты взрывов из 10 опытов. Исследования проводились с целью отработки методики определения критерия оценки чувствительности (минимальной энергии инициирования  $E_{min}$ ), апробации его на широком круге систем для проверки его объективности и классификации смесей по степени опасности.

Для определения минимальной энергии инициирующего удара воспользуемся тем, что энергию инициирования можно регулировать отношением диаметра бойка к толщине образца  $d/h$  [2, 4]. Полученные результаты приведены на рис. 1. Видно, что чувствительность одной и той же смеси характеризуется областью соотношений  $E$ ,  $d$  и  $h$ , пределы которой по  $E$  могут изменяться более чем на 3 порядка. Стандартные же условия испытания [4] определяют в этой области одну точку, не отвечающую предельному случаю. Минимальная энергия определяется путем уменьшения диаметра бойка до тех пор, пока энергия инициирования прекратит снижаться и начнет увеличиваться, образуя минимум на зависимости  $E = f(d/h)$ . Процедуру определения  $E_{min}$  см. на рис. 1, в, г.

Значения параметров, соответствующих минимальным значениям энергии инициирования, удельной энергии инициирования и энергий инициирования, полученных в стандартных условиях для некоторых смесей, приведены в таблице. Здесь же даны результаты оценки чувствительности смесей при импульсном трении с учетом сдвигообразования в смеси, как в менее прочном элементе трения пары. Сдвиг в смеси осуществлялся с помощью шероховатостей роликов, величина которых составляла 20 мкм [2].

Видно, что энергия удара, полученная в стандартных условиях, не характеризует опасных условий, поскольку ее значения на 2—3 порядка выше, чем значения  $E_{min}$ , полученные при оптимальных  $d$  и  $h$ . Если для оценки степени опасности руководствоваться только минимальным диаметром  $d_{min}$ , то ввиду дискретности диаметра бойков получается, что чувствительность многих смесей становится неразличимой, поскольку они имеют один и тот же  $d_{min}$ .

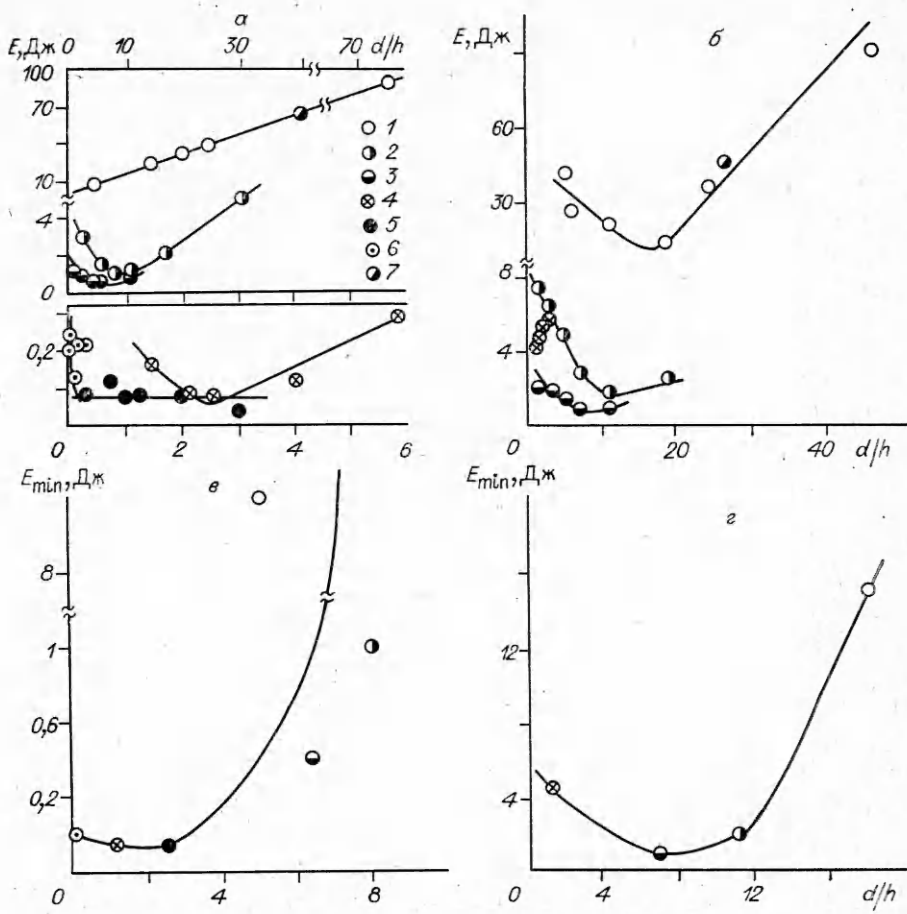


Рис. 1. Зависимости энергии инициирования (а, б) и минимальной энергии инициирования (в, г) от  $d/h$  и  $d$  при ударе на копре.

а, в)  $Zr + Ba(NO_3)_2$ ; б, г)  $Mg + Ba(NO_3)_2$ .  $d$ , мм: 1 — 10, 2 — 4, 3 — 2,5, 4 — 1, 5 — 0,5, 6 — 0,02; 7 — стандартная навеска 50 мг.

Использование в качестве критерия оценки чувствительности удельной минимальной энергии удара, приходящейся на единицу площади бойка  $E_{\text{уд}}^{\text{уд}}$ , и энергии удара, полученной в стандартных условиях  $E_{\text{ст}}$ , показывает, что менее прочные смеси на основе магния оказываются по чувствительности на уровне составов на основе циркония, а в ряде слу-

#### Параметры инициирования смесей металл — окислитель при ударе и импульсном трении

Смесь	$h$ , мм	$d_{\text{min}}$ , мм	$d/h$	$E_{\text{min}}$ , Дж	$E_{\text{уд}}^{\text{уд}}$ , Дж/см <sup>2</sup>	$E_{\text{ст}}$ , Дж (50 МПа)	$p$ , МПа
$Zr + KClO_3$	0,37	0,5	1,35	0,04	20,4	10	1,9*
$Zr + Ba(NO_3)_2$	0,40	0,5	1,25	0,04	20,4	62	1,9**
$Zr + KClO_4$	0,30	0,5	1,67	0,42	61,2	35	1,9***
$Ti + KClO_3$	0,27	2,5	9,26	0,32	6,5	55	3,8
$Ti + KClO_4$	0,22	1,0	4,55	0,32	40,5	14	1,9
$Ti + Ba(NO_3)_2$	0,37	2,5	6,76	0,44	9,0	50	11
$Mg + KClO_4$	0,21	2,5	11,9	0,4	8,2	8	19
$Mg + KClO_3$	0,19	2,5	13,6	0,4	8,2	9	38
$Mg + Ba(NO_3)_2$	0,38	2,5	6,58	0,95	19,2	47	658
Гексоген	0,69	2,5	3,62	3,6	73,5	10	110
Тэн	0,65	2,5	3,85	0,3	6,1	7	38

\* Частота инициирования 90 %.  
\*\* 10 %.  
\*\*\* 40 %.

чаев даже выше их, что противоречит результатам оценки чувствительности, полученным при импульсном трении с учетом сдвигообразования. Только величина минимальной энергии инициирования позволяет получить ряд чувствительности, хорошо коррелирующий с получаемым при импульсном трении. Совпадение рядов чувствительности, найденных при ударе (с оптимальным соотношением  $d/h$ ) и импульсном трении, свидетельствует об идентичности деформационного процесса, формирующего взрыв при этих воздействиях, который сводится к сдвигу в ВВ: при ударе — за счет разрушения и смещения фрагментов относительно друг друга [5], при импульсном трении — за счет срезания тонкого слоя смеси шероховатостями роликов [2]. Аналогичный подход теоретически обоснован в работе [6] для ВВ с произвольной реологией.

Анализ экспериментальных данных по чувствительности исследованных смесей показывает, что чем выше  $T_{\text{пл}}$  и прочность металла, меньше  $T_{\text{вспл}}$  и  $a$ , тем при меньших значениях  $d$ ,  $p$  и  $E$  происходит их инициирование при ударе и импульсном трении. Практически это проявляется в том, что смеси на основе циркония показывают большую локальность и чувствительность по сравнению со смесями на основе магния (их инициирование происходит при меньших  $d$ ,  $p$  и  $E$ ). Промежуточное положение занимают смеси на основе титана.

Большая чувствительность смесей на основе циркония по сравнению со смесями на основе магния дополнительно подтверждается результатами тензометрических и фоторегистрационных исследований характера деформации этих смесей в предвзрывном периоде, проведенных по методам [5, 7]. Осциллограммы  $p = f(t)$  показывают, что деформация при плавно спадающем или пульсирующем давлении с постоянной амплитудой 0,1 ГПа в течение 200—300 мкс после достижения максимума  $p$  не приводила к инициированию смеси  $\text{Mg} + \text{Ba}(\text{NO}_3)_2$ . Инициирование происходило только при быстром спаде давления длительностью 20—30 мкс, свидетельствующем о высокоскоростном радиальном движении слоя.

Результаты по измерению скорости движения смесей в процессе удара с помощью ждущего фоторегистратора ЖФР-3 приведены на рис. 2. Они показывают, что для предвзрывного периода (300—600 мкс)

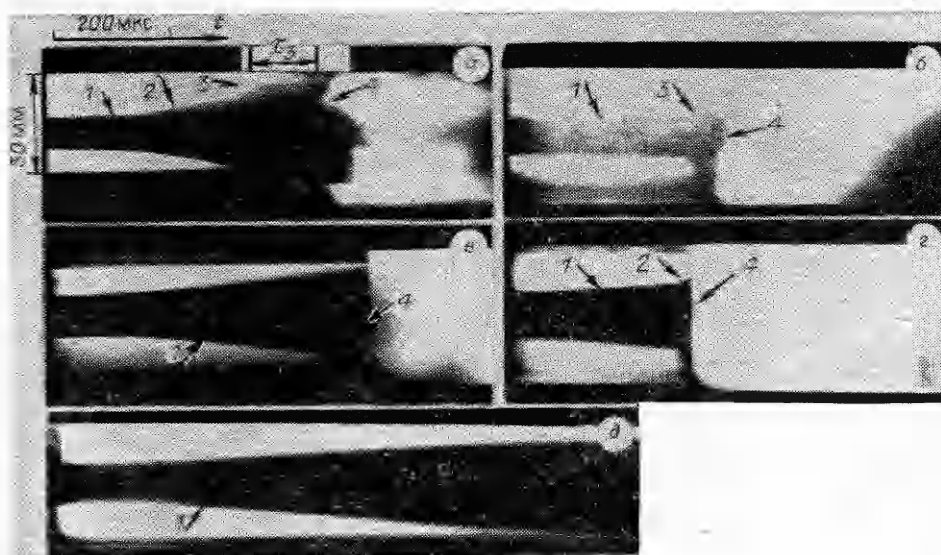


Рис. 2. Регистрограммы процесса деформации и воспламенения смесей  $\text{Mg} + \text{Ba}(\text{NO}_3)_2$  (а, б) и  $\text{Zr} + \text{Ba}(\text{NO}_3)_2$  (в, г) при ударе.  
а, б, в, г) воспламенение; д) отказ. Навеска, мг: 500 (а, в), 90 (б) и 150 (г). Е, Дж: 50 (а), 25 (б), 30 (в, г) и 17 (д). 1 — низкоскоростное радиальное движение слоя; 2 — промежуточная скорость; 3 — высокоскоростное движение слоя; 4 — воспламенение;  $\tau_3$  — время задержки до воспламенения.

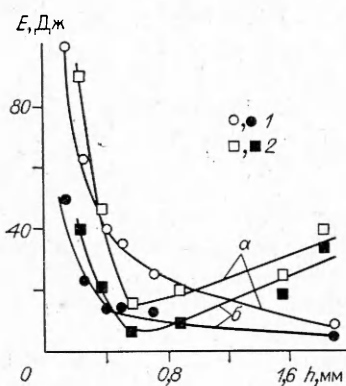


Рис. 3. Зависимость номинальной (а) и поглощенной (б) энергии удара от толщины образцов.  
1 —  $Zr + Ba(NO_3)_2$ ; 2 —  $Mg + Ba(NO_3)_2$ .

но и при низкоскоростном движении смеси от нескольких метров до 100 м/с и более. Воспламенение смеси  $Mg + Ba(NO_3)_2$  наступает через 60—200 мкс от начала высокоскоростного движения слоя или даже после его окончания. Смесь же  $Zr + Ba(NO_3)_2$  инициируется не только при высокоскоростном радиальном движении слоя с заметно меньшим временем задержки от его начала, движении ( $\sim 10$  м/с). Если наряду с номинальной энергией удара использовать в качестве критерия оценки чувствительности энергию, поглощенную образцом  $E_{погл}$  (рис. 3), то во всем диапазоне толщин ( $d = 10$  мм) для обеих смесей  $E_{погл}$  удовлетворительно коррелирует с номинальной энергией удара. Причем у смесей на основе магния  $E_{погл}$  больше, а область толщин с минимальной энергией инициирования уже, чем у составов на основе циркония. Для последнего минимум энергии должен проявиться при еще большей толщине слоя, что также указывает на большую чувствительность смеси  $Zr + Ba(NO_3)_2$ . Об этом же свидетельствуют и результаты регистрации распространения процесса горения исследованных смесей из зоны воздействия. Они показывают, что для смеси  $Zr + Ba(NO_3)_2$  характерно в большинстве случаев испытаний распространение горения на окружающее вещество. Смесь же  $Mg + Ba(NO_3)_2$  чаще всего инициируется только под бойком без распространения горения на окружающее вещество.

#### ЛИТЕРАТУРА

- ГОСТ 4545-80. Вещества взрывчатые. Методы определения чувствительности к удару.—М.: Госстандарт, 1981.
- Муратов С. М., Бажанов С. П., Гидаспова Е. Х. и др. ФГВ, 1985, 21, 4, 123.
- Муратов С. М., Цыганков В. С., Постнов С. И. и др.—В кн.: Первый Всесоюз. симп. по макрокинетике и хим. газодинамике. Т. II.—Черноголовка, 1984.
- Афанасьев Г. Т., Боболев В. К. Инициирование твердых взрывчатых веществ ударом.—М.: Наука, 1968.
- Афанасьев Г. Т., Боболев В. К., Карабанов Ю. Ф. и др. ФГВ, 1975, 11, 3, 467.
- Дубовик А. В., Лисанов М. В.—В кн.: Матер. VIII Всесоюз. симп. по горению и взрыву. Дetonация и ударные волны.—Черноголовка, 1986.
- Кондриков Б. И., Чубаров В. Д.—В кн.: Вопросы теории взрывчатых веществ.—М., 1974.

Поступила в редакцию 11/XI 1986,  
после доработки — 20/II 1987

#### ПЕРЕМЕЩЕНИЕ УДАРНИКА В МЕТАЛЛЕ

С. К. Андилевко, Е. Н. Сай, Г. С. Романов,  
С. М. Ушеренко  
(Минск)

Форма кратера, возникающего при соударении, зависит от материала ударника и преграды, скорости, угла соударения и т. д. [1]. В рамках принятых представлений о кратерообразовании [2] наибольшая деформация материала преграды наблюдается на этапе расширения. Конечный диаметр кратера, как правило, больше диаметра ударника. Кратеры, геометрия которых отличается от описанной выше, принято счи-